

## II. Spezielle Relativitätstheorie und relativistische Kinematik

II.1

1) Landau, Lifschitz, Band II, Klassische Feldtheorie  
Das Relativitätsprinzip

Inertialsystem: kräftefreie Bewegung mit konstanter Geschwindigkeit  $\vec{v}$

Relativitätsprinzip: Erfahrung!

Naturgesetze gelten in jedem IS in der gleichen Form  $\rightarrow$  Die Gleichungen, durch die die Naturgesetze ausgedrückt werden, sind invariant gegenüber einer Transformation der Koordinaten und der Zeit von einem IS in ein anderes (Forminvarianz der Gleichungen)

Prinzip der endlichen Wirkungsgeschwindigkeit:

keine Fernwirkung

Maximalgeschwindigkeit der Wirkungs-  
ausbreitung  $w$

$\Rightarrow$  Körper bewegen sich mit Geschwindigkeit  $\leq w$   
Signalgeschwindigkeit  $\leq w$

RP  $\Rightarrow w$  gleich in jedem IS, universelle Konstante  
(festgelegt 1983  $\rightarrow$  SI-Einheit m)

$w \equiv c = 299\,792\,458 \text{ m s}^{-1}$  Lichtgeschwindigkeit

RP +  $w < \infty \rightarrow$

"Einsteinsches Relativitätsprinzip"

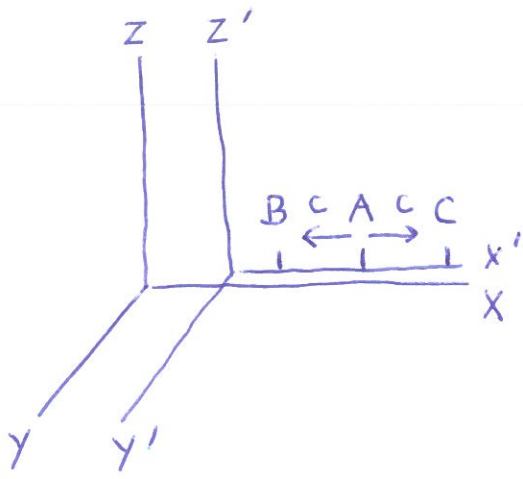
Michelson 1881; Michelson, Morley 1887

ERP  $\Rightarrow$  Es existiert keine absolute Zeit

(absolute Zeit  $\Rightarrow$  Gleichzeitigkeit universell)

# Inertialsysteme $K, K'$

II.2



$K'$ :  $\overline{AB} = \overline{BC}$

Signal bei B und C  
gleichzeitig

$K$ :  $K'$  bewege sich mit  $v$  rel. zu  $K$   
Signal früher bei B  
als bei C

$\Rightarrow$  keine absolute Gleichzeitigkeit

## 2) Der Abstand zweier Ereignisse

4-dimensionaler Raum:

Punkte  $(t, \vec{x})$

Ereignis  $\rightarrow$  Punkt

Trajektorie  $\rightarrow$  Weltlinie  
eines Punktteilchens

$(t_1, \vec{x}_1) \Rightarrow s_{12}^2 \equiv c^2(t_2 - t_1)^2 - (\vec{x}_2 - \vec{x}_1)^2$

Abstandsquadrat zwischen  
zwei Ereignissen

Lichtausbreitung von  $(t_1, \vec{x}_1)$  nach  $(t_2, \vec{x}_2) \Rightarrow s_{12}^2 = 0$   
gilt in allen ISen!

$ds^2 = c^2 dt^2 - dx^2 - dy^2 - dz^2$

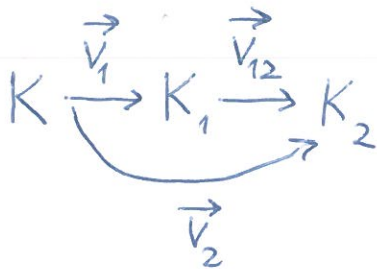
$ds^2 \equiv (ds)^2, \text{etc.}$

$ds^2 = 0$  in  $K \Rightarrow ds^2 = 0$  in  $K'$

$ds^2 \neq 0 \Rightarrow ds^2 = a ds'^2$

RP  $\Rightarrow a$  hängt nicht von den Weltpunkten ab

Isotropie des Raumes  $\Rightarrow a$  hängt nur vom  
Betrag der Relativ-  
geschwindigkeit ab



$$ds^2 = a(v_1) ds_1^2$$

$$v_1 \equiv |\vec{v}_1|, \text{ etc.}$$

$$ds^2 = a(v_2) ds_2^2$$

$$ds_1^2 = a(v_{12}) ds_2^2$$

$$1 = \frac{a(v_1)}{a(v_2)} \frac{ds_1^2}{ds_2^2} \Rightarrow \frac{a(|\vec{v}_2|)}{a(|\vec{v}_1|)} = a(|\vec{v}_{12}|)$$

$|\vec{v}_{12}|$  hängt vom Winkel  $\angle(\vec{v}_1, \vec{v}_2)$  ab,  $\frac{a(v_2)}{a(v_1)}$  davon unabh.

$$\Rightarrow a(v) = \text{konsst.} \Rightarrow a(v) = 1$$

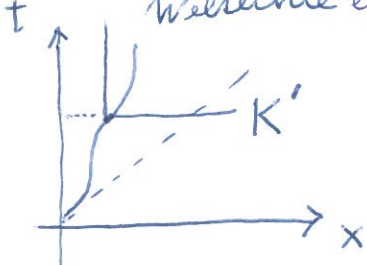
$$\Rightarrow ds^2 = ds'^2 \text{ bzw. } s^2 = s'^2$$

D.h.  $(t_1, \vec{x}_1), (t_2, \vec{x}_2)$  in  $K \leftrightarrow (t'_1, \vec{x}'_1), (t'_2, \vec{x}'_2)$  in  $K'$

$$\Rightarrow c^2(t_2 - t_1)^2 - (\vec{x}_2 - \vec{x}_1)^2 = c^2(t'_2 - t'_1)^2 - (\vec{x}'_2 - \vec{x}'_1)^2$$

### 3) Die Eigenzeit und die Zeitdilatation

$t$  Welllinie eines Teilchens



$K'$ :  $dt' > 0, d\vec{x}' = \vec{0}$  (momentan mit = bewegtes IS)

$K$ :  $dt > 0, d\vec{x} \neq \vec{0}$  i. A.

$K(B)$

$$c^2(dt)^2 - (d\vec{x})^2 = c^2(dt')^2$$

$$dt' = dt \sqrt{1 - \frac{v^2(t)}{c^2}}$$

Eigenzeit: Zeit, die auf der auf der Weltlinie mitgeführten Uhr angezeigt wird

$$K': dt' \equiv d\tau$$

$$d\tau = dt \sqrt{1 - \frac{\vec{v}^2(t)}{c^2}}$$

$$\tau_2 - \tau_1 = \int_{t_1}^{t_2} dt \sqrt{1 - \frac{\vec{v}^2(t)}{c^2}} \quad B \text{ in IS!}$$

Beispiel: Myonen in der Atmosphäre

Primäre kosm. Strahlung  $p, \alpha, \dots$  (Viktor Hess 1912)

Streuung an N, O-Kernen  $\Rightarrow \pi^+ \rightarrow \mu^+ \nu_\mu, \pi^- \rightarrow \mu^- \bar{\nu}_\mu$

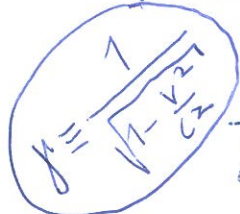
$$\tau_{\pi^\pm} = 2.603 \times 10^{-8} \text{ s}, \quad \tau_\mu = 2.197 \times 10^{-6} \text{ s}$$

Produktion  $\mu^\pm$  in  
~~Zerfall~~  $\sim 10 \text{ km}$  Höhe  
 $\mu^+ \rightarrow e^+ \bar{\nu}_\mu \nu_e$   
 $\mu^- \rightarrow e^- \nu_\mu \bar{\nu}_e$

Die Distanz zw. Produktionspunkt des Myons und dem Schnittpunkt seiner Trajektorie mit der Erdoberfläche sei  $l$ , <sup>seiner Energie sei  $E$ .</sup> Wie groß ist die Wahrscheinlichkeit, dass das Myon die Erdoberfläche erreicht?

Ruhendes Myon:  $\frac{1}{\tau_\mu} e^{-t/\tau_\mu} dt =$  Wahrscheinlichkeit, des Zerfalls im Intervall  $[t, t+dt]$  ( $t > 0$ )

Bewegtes Myon:  $\frac{1}{\gamma \tau_{\mu V}} e^{-\frac{tV}{\gamma \tau_{\mu V}}} v dt = \frac{1}{\gamma \tau_{\mu V}} e^{-\frac{x}{\gamma \tau_{\mu V}}} dx$   
 $\tau_\mu = \gamma \tau_\mu = \frac{E}{m \tau_\mu}$  Zeitdilatation



Wahrscheinlichkeit  $P(l, v)$ , dass Myon Erdoberfläche erreicht:

$$P(l, v) = \frac{1}{\gamma \tau_{\mu V}} \int_l^\infty dx e^{-\frac{x}{\gamma \tau_{\mu V}}} = -e^{-\frac{x}{\gamma \tau_{\mu V}}} \Big|_l^\infty = e^{-\frac{l}{\gamma v \tau_\mu}}$$

$$\gamma v = \frac{p}{m} = c \sqrt{\left(\frac{E}{mc^2}\right)^2 - 1} \quad \text{Vorwegnahme! Siehe Unterkap. 5}$$

$$P(l, E) = \exp\left(-\frac{l}{\tau_{\mu} c \sqrt{\left(\frac{E}{mc^2}\right)^2 - 1}}\right)$$

II.5

$\tau_{\mu} c = 658.654 \text{ m}$   
 $mc^2 = 105.66 \text{ MeV}$   
 $\rightarrow$  typische Fluglänge ohne Zeitdilatation für  $v \approx c$

Beispiel:  $l = 10 \text{ km}$ ,  $E = 1 \text{ GeV}$

$$\frac{l}{\tau_{\mu} c \sqrt{\dots}} \approx \frac{10^4}{659 \times 10} \approx 1.52$$

$$P \approx e^{-1.52} \approx 0.22$$

$$l = 10 \text{ km}, E = 10 \text{ GeV} \Rightarrow P \approx e^{-0.152} \approx 0.86$$

#### 4) Lorentz-Transformationen

$$K \xrightarrow{L} K'$$

$$(t, \vec{x}) \quad (t', \vec{x}')$$

$$x^0 \equiv ct, \quad x'^0 \equiv ct'$$

$$x \equiv (x^{\mu}) = \begin{pmatrix} x^0 \\ \vec{x} \end{pmatrix} \quad \text{4-Vektor}$$

$$\eta \equiv (\eta_{\mu\nu}) = \begin{pmatrix} 1 & 0 & 0 & 0 \\ 0 & -1 & 0 & 0 \\ 0 & 0 & -1 & 0 \\ 0 & 0 & 0 & -1 \end{pmatrix}$$

Def.: Bilinearform  
 $x^2 \equiv x \cdot x$

$$x \cdot y \equiv x^{\mu} \eta_{\mu\nu} y^{\nu}, \quad x \cdot y = y \cdot x$$

Invarianter Abstand:  $x^2 = x'^2$

$$x \cdot y = \frac{1}{4} [(x+y) \cdot (x+y) - (x-y) \cdot (x-y)]$$

$\Rightarrow$  für zwei beliebige 4-Koordinatenvektoren gilt  
 $x \cdot y = x' \cdot y'$

L lineare Transformation:

gleichförmig geradlinige Bewegung  
bleibt erhalten

Spek, Urbankte, Relativität,  
Gruppen,  
Teilchen

L 4x4-Matrix,  $x' = Lx$  bzw.  $x'^M = L^M_{\nu} x^{\nu}$

$$x \cdot y = (Lx) \cdot (Ly) \quad \forall x, y$$

Matrixschreibweise:  $x \cdot y = x^T \eta y$

$$x^T \eta y = (Lx)^T \eta (Ly) = x^T (L^T \eta L) y \quad \forall x, y$$

$1 \times 4 \quad 4 \times 4 \quad 4 \times 1$

$\Rightarrow$  Lorentztransformationen erfüllen  $L^T \eta L = \eta$

Eigenschaften der Lorentztransformation

$$\mathcal{L} = \{ L \mid 4 \times 4\text{-Matrizen mit } L^T \eta L = \eta \}$$

$\mathcal{L}$  bildet Gruppe:

1) Abgeschlossenheit

$$(L_1 L_2)^T \eta (L_1 L_2) = L_2^T (L_1^T \eta L_1) L_2 = L_2^T \eta L_2 = \eta$$

$$L_1, L_2 \in \mathcal{L} \Rightarrow L_1 L_2 \in \mathcal{L}$$

2) Einheitselement = 1

$$1 \eta 1 = \eta$$

3) Inverses Element

$$(L^T)^{-1} \cdot | L^T \eta L = \eta | \cdot L^{-1} \Rightarrow \eta = (L^T)^{-1} \eta L^{-1} = (L^{-1})^T \eta L^{-1}$$

$$L \in \mathcal{L} \Leftrightarrow L^{-1} \in \mathcal{L}$$

4) Assoziativität:  $(L_1 L_2) L_3 = L_1 (L_2 L_3)$

für Matrizenmultiplikation immer erfüllt

$T = \text{diag}(-1, 1, 1, 1) \in \mathcal{L}$  Zeitumkehr

$P = \text{diag}(1, -1, -1, -1) \in \mathcal{L}$  Raumspiegelung

$L \in \mathcal{L} \Rightarrow L^T \in \mathcal{L}$  wegen  $L^T = PL^{-1}P$

$L^{-1} = \eta L^T \eta$  bzw.  $L^{-1} = PL^T P$  ~~Wichtig!~~

$\mathcal{L} \rightarrow 6$  dim. Mannigfaltigkeit in  $\mathbb{R}^{16}$

$L^\rho_\mu \eta_{\rho\lambda} L^\lambda_\nu = \eta_{\mu\nu} \rightarrow 10$  Bedingungen

$\mathcal{L}$  zerfällt in 4 nichtzshgde Teile:

$(\det L)^2 = 1, (L^0_0)^2 \geq 1 \Rightarrow 4$  Zshgskomponenten

Beweis:  $\det(L^T \eta L) = (\det L)^2 \det \eta = \det \eta$

$L^\rho_0 \eta_{\rho\lambda} L^\lambda_0 = (L^0_0)^2 - (L^1_0)^2 - (L^2_0)^2 - (L^3_0)^2 = \eta_{00} = 1$

$\Rightarrow (L^0_0)^2 = 1 + \sum_{i=1}^3 (L^i_0)^2 \geq 1 \quad \square$

$\mathcal{L}^\uparrow_+ = \{ L \in \mathcal{L} \mid \det L = 1, L^0_0 \geq 1 \}$   
= eigentliche orthochrone Lorentzgruppe

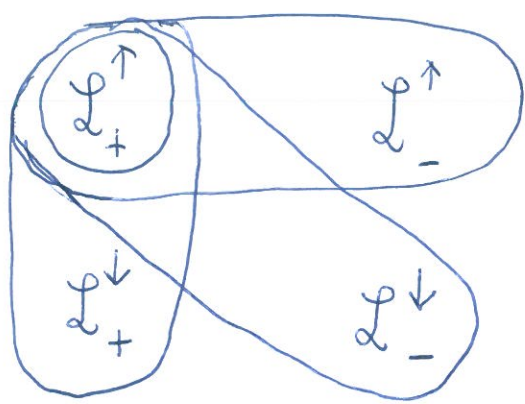
$\mathcal{L}_+ = \{ L \in \mathcal{L} \mid \det L = 1 \}$  = eigentliche Lorentzgruppe

$\mathcal{L}^\uparrow = \{ L \in \mathcal{L} \mid L^0_0 \geq 1 \}$  = orthochrone Lorentzgruppe

Gruppeneigenschaft: z.Z. Abgeschlossenheit,  $1 \in \mathcal{L}^\uparrow \Rightarrow$

$\mathcal{L}^\uparrow_+ = \mathcal{L}_+ \cap \mathcal{L}^\uparrow$

$L \in \mathcal{L}^\uparrow \Rightarrow L^{-1} \in \mathcal{L}^\uparrow$



$$\begin{aligned}
 L_-^\uparrow &= P L_+^\uparrow \\
 L_-^\downarrow &= T L_+^\uparrow \\
 L_+^\downarrow &= PT L_+^\uparrow
 \end{aligned}$$

Gruppe der Drehung kann als Untergruppe von  $L_+^\uparrow$  aufgefasst werden:

$$R \in SO(3) \Rightarrow \begin{pmatrix} 1 & 0 \\ 0 & R \end{pmatrix} \in L_+^\uparrow$$

$\begin{matrix} 1 \times 1 & 1 \times 3 \\ 3 \times 1 & 3 \times 3 \end{matrix}$

$L \in L, L^0_0 = 1 \Rightarrow L$  ist Drehung oder Drehmischung

Eigentliche orthochrone Lorentzgruppe:

Spezialfall  $y' = y, z' = z, K \xrightarrow{L} K'$

$$L = \begin{pmatrix} L_x & 0 & 0 \\ 0 & 1 & 0 \\ 0 & 0 & 1 \end{pmatrix}, \quad L_x \text{ 2x2-Matrix}$$

$$L_x^T \begin{pmatrix} 1 & 0 \\ 0 & -1 \end{pmatrix} L_x = \begin{pmatrix} 1 & 0 \\ 0 & -1 \end{pmatrix}$$

Konvention  
↓

Analogie zu Drehungen:  $L_x = \begin{pmatrix} \text{ch } \psi & -\text{sh } \psi \\ -\text{sh } \psi & \text{ch } \psi \end{pmatrix}$

Beweis:

$$L_x^T \begin{pmatrix} 1 & 0 \\ 0 & -1 \end{pmatrix} L_x = \begin{pmatrix} \text{ch } \psi & -\text{sh } \psi \\ -\text{sh } \psi & \text{ch } \psi \end{pmatrix} \begin{pmatrix} \text{ch } \psi & -\text{sh } \psi \\ \text{sh } \psi & -\text{ch } \psi \end{pmatrix} = \begin{pmatrix} 1 & 0 \\ 0 & -1 \end{pmatrix}$$

wegen  $\text{ch}^2 \psi - \text{sh}^2 \psi = 1$



Mit welcher Geschwindigkeit bewegt sich  $K'$  relativ zu  $K$ ?

(II.9)

$K'$ :  $ct', x'=y'=z'=0$  Punkt im Koordinatenursprung

$$K' \xrightarrow{L^{-1}} K, \quad L_x^{-1} = \begin{pmatrix} \text{ch } \psi & \text{sh } \psi \\ \text{sh } \psi & \text{ch } \psi \end{pmatrix}$$

$$K: \quad \cancel{ct = \text{ch } \psi ct'} \quad \cancel{x' = \text{sh } \psi ct'} \quad y'=y, \quad z'=z$$

$$t = \text{ch } \psi t', \quad x = \text{sh } \psi ct'$$

$$\frac{x}{t} = c \text{th } \psi = v$$

⇒ Koordinatenursprung von  $K'$  bewegt sich mit Geschw.  $\frac{v}{c} = \text{th } \psi$  entlang x-Achse

$$\beta \equiv \frac{v}{c}$$

$$\text{ch}^2 \psi - \text{sh}^2 \psi = \text{ch}^2 \psi (1 - \text{th}^2 \psi) = 1$$

$$\text{ch } \psi = \frac{1}{\sqrt{1-\beta^2}}, \quad \text{sh } \psi = \frac{\beta}{\sqrt{1-\beta^2}}$$

$$L = \begin{pmatrix} \gamma & -\gamma\beta & 0 & 0 \\ -\gamma\beta & \gamma & 0 & 0 \\ 0 & 0 & 1 & 0 \\ 0 & 0 & 0 & 1 \end{pmatrix}$$

$$\gamma \equiv \frac{1}{\sqrt{1-\beta^2}}$$

„geschw. Transformation“ (boost) entlang x-Achse

Allgemein:  $K'$  bewege sich mit  $\vec{v}$  relativ zu  $K$   
(Achsen parallel)

$$\vec{n}_v \equiv \frac{\vec{v}}{|\vec{v}|}$$

$$ct' = \gamma ct - \gamma\beta \vec{n}_v \cdot \vec{x}$$

$$\vec{x}' = (-\gamma\beta ct + \gamma \vec{n}_v \cdot \vec{x}) \vec{n}_v + (1 - \vec{n}_v \vec{n}_v^T) \vec{x}$$
~~$$(1 - \vec{n}_v \vec{n}_v^T) \vec{x}' = (1 - \vec{n}_v \vec{n}_v^T) \vec{x}$$~~

$$L(\vec{v}) = \begin{pmatrix} \gamma & -\gamma \vec{\beta}^T \\ -\gamma \vec{\beta} & 1 + \frac{\gamma-1}{\beta^2} \vec{\beta} \vec{\beta}^T \end{pmatrix}$$

$$\frac{\gamma-1}{\beta^2} = \frac{\gamma^2}{\gamma+1}$$

II.10

$$L(\vec{\alpha}) = \begin{pmatrix} 1 & 0 \\ 0 & R(\vec{\alpha}) \end{pmatrix}$$

$R(\vec{\alpha})$  Transformation auf das um den Drehvektor  $\vec{\alpha}$  gedrehte System

Allgemein:  $L(\vec{\alpha}, \vec{v}) = L(\vec{\alpha})L(\vec{v}) \rightarrow 6$  Parameter

Geschwindigkeitsaddition:

Einfachster Fall:  $K'$  mit  $v$  entlang  $x$ -Achse, in  $K'$  gleichförmige Bewegung entlang  $x'$ -Achse

$$x' = wt'$$

$$\begin{pmatrix} ct \\ x \end{pmatrix} = L_x^{-1} \begin{pmatrix} ct' \\ wt' \end{pmatrix} = \begin{pmatrix} \gamma & \beta\gamma \\ \beta\gamma & \gamma \end{pmatrix} \begin{pmatrix} ct' \\ wt' \end{pmatrix}$$

$$ct = \gamma(ct' + \beta wt')$$

$$x = \gamma(\beta c + w)t'$$

$$u \equiv \frac{x}{t} = \frac{\gamma(1 + \beta \frac{w}{c})}{\gamma}$$

Geschw. in  $K$

$$\frac{\gamma(v+w)t'}{\gamma(1 + \frac{\beta w}{c})t'}$$

$\Rightarrow$

$$u = \frac{v+w}{1 + \frac{vw}{c^2}}$$

Dopplereffekt:

Vorbereitung:

Transformation einer Funktion  $\phi$  von  $K$  nach  $K'$ 

$$\phi'(x') = \phi(x) = \phi(L^{-1}x')$$

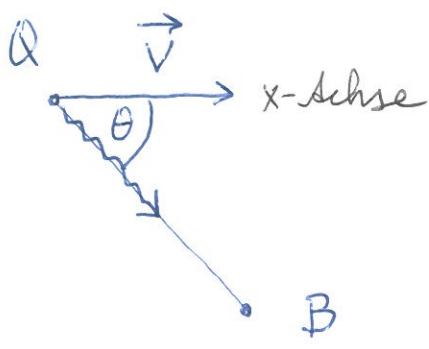
$$x' = Lx$$

Ebene Welle:  $e^{-i(\omega t - \vec{k} \cdot \vec{x})} = e^{-i(\frac{\omega}{c}x^0 - \vec{k} \cdot \vec{x})} = e^{-ik \cdot x}$

Wellenl.:  $\frac{\omega}{c} = |\vec{k}|$ , 4-Vektor  $\begin{pmatrix} \frac{\omega}{c} \\ \vec{k} \end{pmatrix} \equiv k$

Ebene Welle in  $K'$ :  $e^{ik \cdot (L^{-1}x')} = e^{i(Lk) \cdot x'}$

$$k' = Lk$$



Quelle Q bewegt sich relativ zum Beobachter B, sendet z.B. bekannte Spektrallinie mit Kreisfrequenz  $\omega_0$  aus

B mit  $\theta$  in seinem System Welche Frequenz sieht B?

K: Ruhesystem von B, K' bewege sich mit v entlang x-Achse  
K': — " — Q

$$\omega_0 \begin{pmatrix} 1 \\ \cos \theta' \\ \sin \theta' \\ 0 \end{pmatrix} = \begin{pmatrix} \gamma & -\beta \gamma & 0 & 0 \\ -\beta \gamma & \gamma & 0 & 0 \\ 0 & 0 & 1 & 0 \\ 0 & 0 & 0 & 1 \end{pmatrix} \omega \begin{pmatrix} 1 \\ \cos \theta \\ \sin \theta \\ 0 \end{pmatrix}$$

Wellenl.

$\frac{\omega}{c} = |\vec{k}| \Rightarrow$

4-Vektor  $k = \begin{pmatrix} \frac{\omega}{c} \\ \vec{k} \end{pmatrix} = \frac{\omega}{c} \begin{pmatrix} 1 \\ \vec{n} \end{pmatrix}$

mit  $\vec{n} = \frac{\vec{k}}{|\vec{k}|}$

Planverschiebung

2te Koordinate:  $\omega_0 = \gamma (1 - \beta \cos \theta) \omega$

$\omega = \frac{\omega_0 \sqrt{1 - \beta^2}}{1 - \beta \cos \theta}$

$Q \rightarrow B: \omega = \sqrt{\frac{1 + \beta}{1 - \beta}} \omega_0 > \omega_0$

$\leftarrow Q \quad B: \omega = \sqrt{\frac{1 - \beta}{1 + \beta}} \omega_0 < \omega_0$

Rotverschiebung

Transversaler Dopplereffekt:

$\uparrow$   
Q B:  $\omega = \sqrt{1 - \beta^2} \omega_0 \Rightarrow$  kleine Rotverschiebung (Effekt der Zeitdilatation)

5) Energie und Impuls in der speziellen Relativitätstheorie

Newton:  $\frac{d\vec{p}}{dt} = \vec{F}$

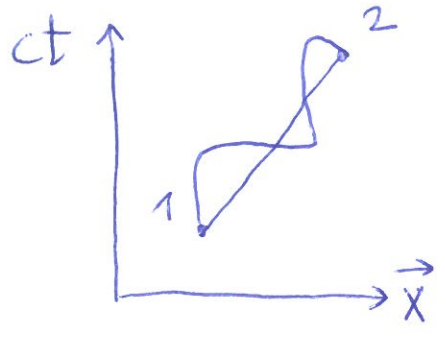
Nähelegende Verallgemeinerung von  $\vec{p}$ :  
Lorentz-Kovarianz  $\rightarrow$  4-Impuls

$p^\mu = m \frac{dx^\mu}{d\tau} \Rightarrow p = m\gamma \begin{pmatrix} c \\ \vec{v} \end{pmatrix}$

$d\tau = \frac{dt}{\gamma} = \frac{1}{c} \sqrt{ds^2}$  invariant

Herleitung des 4-Impulses aus dem Wirkungsprinzip:

Freies Teilchen, Forderung: Wirkung  $S$  Lorentz-invariant



Minimum von  $S$   
 $\rightarrow$  Euler-Lagrange-Gl.  
 $\rightarrow$  Gerade

$S = -k \int_1^2 ds = -kc \int_1^2 d\tau = -kc \int_{t_1}^{t_2} dt \sqrt{1 - \frac{\vec{v}^2(t)}{c^2}}$

$k = \text{Konstante}$

Bem.:  $\int$  nicht Lorentz-invariant!

$$L = -kc \sqrt{1 - \frac{\vec{v}^2}{c^2}}$$

NR Limes:  $L = -kc \left(1 - \frac{1}{2} \frac{\vec{v}^2}{c^2} + \dots\right)$

$$\frac{k\vec{v}^2}{2c} = \frac{m\vec{v}^2}{2} \Rightarrow k = mc$$

$$L = -mc^2 \sqrt{1 - \frac{\vec{v}^2}{c^2}}$$

Kanon. Impuls:  $p_i = \frac{\partial L}{\partial \dot{x}^i} = \frac{\partial L}{\partial v^i} = mc^2 \gamma \frac{v^i}{c^2}$

$$\vec{p} = \frac{m\vec{v}}{\sqrt{1 - \frac{\vec{v}^2}{c^2}}}$$

Euler-Lagrange:  $\frac{d\vec{p}}{dt} = \left(\frac{\partial L}{\partial x^i}\right) = \vec{0}$

$$\vec{v} \gamma - \frac{1}{2} \gamma^3 \vec{v} \left(\frac{2\vec{v} \cdot \dot{\vec{v}}}{c^2}\right) = \vec{0}$$

$$\vec{v} \left(1 - \frac{\vec{v}^2}{c^2}\right) + \frac{1}{c^2} \vec{v} \vec{v} \cdot \dot{\vec{v}} = \vec{0}$$

$$\Rightarrow \vec{v} \cdot \dot{\vec{v}} \left(1 - \frac{\vec{v}^2}{c^2}\right) + \frac{\vec{v}^2}{c^2} \vec{v} \cdot \dot{\vec{v}} = \vec{v} \cdot \dot{\vec{v}} = 0$$

$$\Rightarrow \boxed{\dot{\vec{v}} = \vec{0}} \Rightarrow \text{Gerade } (|\vec{v}| < c)$$

Energie:  $E = \sum_{i=1}^3 \dot{x}^i \frac{\partial L}{\partial \dot{x}^i} - L = \vec{v} \cdot \vec{p} + mc^2 \sqrt{1 - \frac{\vec{v}^2}{c^2}}$

$$= \frac{m\vec{v}^2}{\sqrt{1 - \frac{\vec{v}^2}{c^2}}} + mc^2 \sqrt{1 - \frac{\vec{v}^2}{c^2}} = \frac{mc^2}{\sqrt{1 - \frac{\vec{v}^2}{c^2}}}$$

$$E = \frac{m c^2}{\sqrt{1 - \frac{v^2}{c^2}}}$$

$$\Rightarrow P = \begin{pmatrix} E/c \\ \vec{p} \end{pmatrix}$$

$$\frac{E}{m c^2} = \gamma, \quad \frac{|\vec{p}|}{m} = \gamma v$$

$$P^2 = \frac{E^2}{c^2} - \vec{p}^2 = \frac{m^2 c^2}{1 - \frac{v^2}{c^2}} - \frac{m^2 v^2}{1 - \frac{v^2}{c^2}} = m^2 c^2$$

$$P^2 \equiv P \cdot P = m^2 c^2$$

$$E = \sqrt{m^2 c^4 + c^2 \vec{p}^2}$$

NR Limes:  $E = m c^2 + \frac{\vec{p}^2}{2m} + \dots$

$m \neq 0$ :  $E, \vec{p}$  divergieren für  $v \rightarrow c$

$m = 0$ :  $E = c |\vec{p}|$

Andersseits  $E = \vec{v} \cdot \vec{p} - \underbrace{L}_0 \Rightarrow v = c$

~~Ungleichung:  $p_i^2 = m_i^2 \ (i=1, \dots, n) \Rightarrow$~~

$$\left( \sum_{i=1}^n p_i \right)^2 \geq \left( \sum_{i=1}^n m_i \right)^2 c^2$$

~~Beweis: vollständige Induktion  $(c=1)$~~

~~$n=1: p_1^2 \geq m_1^2$~~

~~$n-1: (p_1 + \dots + p_{n-1})^2 \geq (m_1 + \dots + m_{n-1})^2$~~

~~$\vec{p} \equiv p_1 + \dots + p_{n-1}$~~

$$E = mc^2 + T \quad \text{mit} \quad T = \sqrt{m^2 c^4 + c^2 \vec{p}^2} - mc^2$$

$mc^2 =$  Ruheenergie,  $T =$  kinetische Energie

4-Impulserhaltung in Teilchenprozessen:

$$\text{z.B. } A_1 + A_2 \rightarrow B_1 + B_2 + \dots + B_n$$

$$P_1 + P_2 = k_1 + k_2 + \dots + k_n$$

Ab jetzt  $c=1$ .

Wichtige Ungleichung:

$$P_1^2 = m_1^2 \neq 0, \quad P_2^2 = m_2^2 \Rightarrow P_1 \cdot P_2 \geq m_1 m_2, \quad P_1 \cdot P_2 = m_1 m_2 \Leftrightarrow m_1 P_2 = m_2 P_1$$

Beweis:  $m_1 \neq 0 \Rightarrow \exists$  Inertialsystem  $K'$ , in dem Teilchen 1 ruht, d.h.  $P_1' = \begin{pmatrix} m_1 \\ \vec{0} \end{pmatrix}$ .

$$P_1 \cdot P_2 = P_1' \cdot P_2' = m_1 E_2' = m_1 \sqrt{m_2^2 + \vec{p}_2'^2} \geq m_1 m_2.$$

$$m_2 \neq 0 \Rightarrow \text{Min. bei } P_2' = \begin{pmatrix} m_2 \\ \vec{0} \end{pmatrix} \Rightarrow \frac{m_2 P_1'}{2} = m_1 P_2$$

$$m_2 = 0 \Rightarrow \text{Min. bei } E_2' = 0 \Rightarrow P_2' = 0, \quad m_2 P_1 = m_1 P_2 \quad \text{gilt ebenfalls!} \checkmark$$

Spezialfälle:

$$m_1 \neq 0, \quad m_2 = 0 \Rightarrow \text{Min. } P_1 \cdot P_2 = 0 \quad \text{bei } p_2 = 0$$

$$m_1 = m_2 = 0 \Rightarrow \text{Min. } P_1 \cdot P_2 = 0 \quad \text{bei } p_2 \propto p_1$$



Folgerung:

$$p_i^2 = m_i^2 \quad (i=1, \dots, n) \Rightarrow (p_1 + p_2 + \dots + p_n)^2 \geq (m_1 + m_2 + \dots + m_n)^2$$

Beweis:  $(p_1 + p_2 + \dots + p_n)^2 =$

$$= \sum_{i=1}^n p_i^2 + 2 \sum_{i < j} p_i \cdot p_j \geq \sum_{i=1}^n m_i^2 + 2 \sum_{i < j} m_i m_j$$

$$= (m_1 + \dots + m_n)^2 \quad \checkmark$$

Remerkung:

$m_1 \neq 0 \Rightarrow$  am Min. kann  $p_1 + p_2 + \dots + p_n$  als 4-Impuls eines Teilchens mit Masse  $m_1 + m_2 + \dots + m_n$  aufgefasst werden.

Beweis: Am Min. ist  $p_i = \frac{m_i}{m_1} p_1$

$$\Rightarrow (p_1 + p_2 + \dots + p_n)^2 = \left( p_1 + \frac{m_2}{m_1} p_1 + \dots + \frac{m_n}{m_1} p_1 \right)^2 =$$

$$= \left( \frac{m_1 + \dots + m_n}{m_1} \right)^2 \cdot m_1^2 = (m_1 + \dots + m_n)^2$$

$m_1 = m_2 = \dots = m_n = 0 \Rightarrow$  am Min. sind alle  $p_i$  untereinander proportional,  $(p_1 + \dots + p_n)^2 = 0$

# 6) Teilchenprozesse und relativistische Kinematik

## a) 2-Teilchenerfall

$$A \rightarrow B_1 + B_2$$

$$p = p_1 + p_2 \quad p^2 = m^2, \quad p_1^2 = m_1^2, \quad p_2^2 = m_2^2$$

Problemstellung: Was sind die Energien von  $B_1$  und  $B_2$  im Ruhesystem von  $A$ ?

$$p = \begin{pmatrix} m \\ \vec{0} \end{pmatrix}, \quad (p - p_1)^2 = m^2 + m_1^2 - 2mE_1 = m_2^2$$

$$E_1 = \frac{m^2 + m_1^2 - m_2^2}{2m}, \quad E_2 = \frac{m^2 + m_2^2 - m_1^2}{2m}$$

Impuls:  $|\vec{p}_1| = |\vec{p}_2| \equiv q \iff \vec{p}_1 + \vec{p}_2 = \vec{0}$

$$E_1^2 - q^2 = m_1^2 \Rightarrow q^2 = E_1^2 - m_1^2 =$$
$$= \frac{m^4 + 2m^2(m_1^2 - m_2^2) + (m_1^2 - m_2^2)^2 - m_1^2 \cdot 4m^2}{4m^2}$$

$$q^2 = \frac{1}{4m^2} [m^4 - 2m^2(m_1^2 + m_2^2) + (m_1^2 - m_2^2)^2]$$

Energien und Betrag des Impulses  
völlig fixiert!

Notwendige Bed.:  $m > m_1 + m_2$

b)  $\beta$ -Zerfall und Grenzen des Elektronenspektrums

$(Z, A) \rightarrow (Z+1, A) + e^- + \bar{\nu}_e$  i = initial, f = final

$p_i = p_f + p_e + p_\nu$  Gesucht: Maximale Elektronenergie

$p_i = \begin{pmatrix} M_i \\ \vec{0} \end{pmatrix}$  Nehmen  $\nu$ -Masse  $\neq 0$  an

$p_i - p_e = p_f + p_\nu \Rightarrow (p_i - p_e)^2 = M_i^2 - 2M_i E_e + m_e^2 = (p_f + p_\nu)^2 \geq (M_f + m_\nu)^2$

$\Rightarrow E_e \leq \frac{M_i^2 + m_e^2 - (M_f + m_\nu)^2}{2M_i}$

Obere Schranke wird tatsächlich angenommen

für  $p_\nu = \frac{m_\nu}{M_f} p_f \rightarrow p_\nu + p_f \equiv P$  4-Vektor mit Masse  $M_f + m_\nu$

$\rightarrow$  eff. 2-Teilchenzerfall

Untere Schranke:  $E_e \geq m_e$

$p_e = \begin{pmatrix} m_e \\ \vec{0} \end{pmatrix}$  mögl. Lsg. der Energie-Impuls-Bilanz

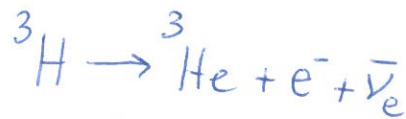
Achtung: nur Kinematik, keine Dynamik, d.h. Theorie des  $\beta$ -Zerfalls

Näherungen für  $E_{\max}$ :

i)  $m_\nu \lesssim 1 \text{ eV}$  ,  $E_0 \equiv \frac{M_i^2 + m_e^2 - M_f^2}{2M_i}$

$E_e \lesssim E_0 - \frac{M_f}{M_i} m_\nu \approx E_0 - m_\nu$

$E_e \lesssim E_0 - m_\nu$



Suche nach  $m_\nu$

$T_{1/2} = 12.32 \text{ a}$  ,  $M_i - M_f - m_e \approx 19 \text{ keV}$

ii)  $m_\nu \rightarrow 0 \Rightarrow E_{\max} = E_0$

$$E_0 = (M_i - M_f) (M_i + M_f) \frac{1}{2M_i} + \frac{m_e^2}{2M_i} =$$

$$= (M_i - M_f) \left[ 1 - \frac{M_i - M_f}{2M_i} + \frac{m_e^2}{2M_i(M_i - M_f)} \right]$$

üblicherweise

$E_0 \approx M_i - M_f$  ausreichend

$\underbrace{M_i - M_f}_{\text{MeV}} \ll \underbrace{M_i}_{\text{GeV}}$

c) Compton-Streuung

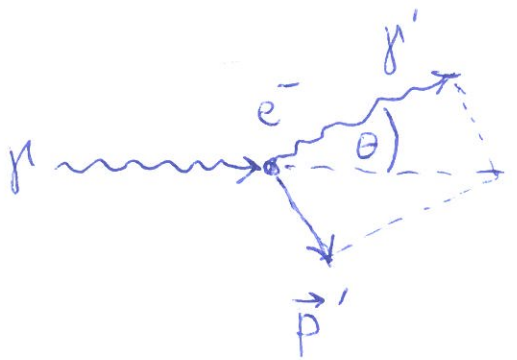
Elastische Photon-Elektron-Streuung

$$\gamma + e^- \rightarrow \gamma + e^-$$

$$k + p = k' + p'$$

Ruhe-system des einlaufenden Elektrons:

$$P = \begin{pmatrix} m \\ \vec{0} \end{pmatrix} \quad m \equiv m_e$$



Ziel:  $w'$  als Funktion von  $w$  und  $\theta$

$$k = w \begin{pmatrix} 1 \\ \vec{n} \end{pmatrix} \quad \text{wegen } k^2 = 0!$$

$$(k + p - k')^2 = p'^2 = m^2 \quad k' = w' \begin{pmatrix} 1 \\ \vec{n}' \end{pmatrix} \quad [\hbar = c = 1]$$

~~$$k^2 + k'^2 + p^2 + 2k \cdot p - 2k' \cdot p - 2k \cdot k' = m^2$$~~

$$(w - w')m = ww' (1 - \cos\theta)$$

$$wm = w' (m + w(1 - \cos\theta))$$

$$w' = \frac{w}{1 + \frac{w}{m}(1 - \cos\theta)}$$

$$w' \leq w!$$

$$\frac{\hbar w}{mc^2} = \frac{2\pi\hbar\nu}{mc^2} = 2\pi \frac{\lambda_c}{\lambda}, \quad \lambda_c = \frac{\hbar}{mc} = 3.861 \times 10^{-13} \text{ m}$$

Compton-Wellenlänge

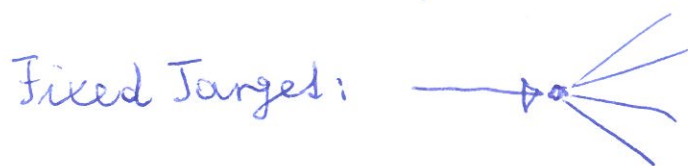
$$\lambda \gg \lambda_c \Rightarrow w' \approx w$$



$$\text{bzw. } \hbar w \ll mc^2$$

d) Collider vs. Fixed Target

Schwerpunktsystem



Laborsystem

pp-Streuung:

$$\text{Collider: } P_1 = \begin{pmatrix} E \\ \vec{p} \end{pmatrix}, P_2 = \begin{pmatrix} E \\ -\vec{p} \end{pmatrix}$$

$$\text{Laborsystem: } P_{1L} = \begin{pmatrix} E_L \\ \vec{p}_L \end{pmatrix}, P_{2L} = \begin{pmatrix} m \\ \vec{0} \end{pmatrix}$$

Im Schwerpunktsystem steht Energie  $2E$  zur Verfügung.  
Wie groß muß  $E_L$  sein, dass im Schwerpunktsystem  
 $2E$  vorhanden ist?

$$\begin{aligned} (P_1 + P_2)^2 &= (2E)^2 = (P_{1L} + P_{2L})^2 = 2m^2 + 2P_{1L} \cdot P_{2L} = \\ &= 2(m^2 + E_L m) \end{aligned}$$

$$E_L = \frac{2E^2 - m^2}{m}$$

$$\text{LHC: } E = 7 \text{ TeV} \Rightarrow E_L \approx \frac{2 \times 49 \text{ TeV}^2}{0.938 \times 10^{-3} \text{ TeV}} =$$

[Zur Zeit:  $2E = 13 \text{ TeV}$ ]

$$= 1.045 \times 10^5 \text{ TeV} !$$

$$E_L \approx 10^{17} \text{ eV}$$

e) Der Cherenkov-Effekt

Strahlung eines geladenen Teilchens  
mit  $v > \frac{c}{n}$  ( $n = \text{Brechungsindex in einem Medium, } n = 1.33 \text{ in Wasser}$ )

$$\left( \frac{n^2}{c^2} \frac{\partial^2}{\partial t^2} - \Delta \right) \vec{E} = \vec{0}$$

Ebene Welle:  $e^{i\vec{k} \cdot \vec{x}}$ ,  $k = \begin{pmatrix} \omega \\ \vec{k} \end{pmatrix} \Rightarrow \frac{n^2 \omega^2}{c^2} = \vec{k}^2$

4-Impuls des Photons im Medium:

$$k = \begin{pmatrix} \omega \\ n\omega \hat{k} \end{pmatrix}, \quad \vec{k}^2 = 1 \quad (\hbar = c = 1)$$

Beispiel:  $\bar{e} \rightarrow \bar{e} + \gamma$       Gesucht:  $\omega$  als Funktion von  $\theta$  und  $E_{\bar{e}}$

$$p = p' + k \Rightarrow (p - k)^2 = m^2 - 2p \cdot k + k^2 = p'^2 = m^2$$

$$\underline{k^2 = -\omega^2(n^2 - 1) < 0} \quad p = \begin{pmatrix} E \\ \vec{p} \end{pmatrix}, \quad |\vec{p}| = q$$

$$-2(E\omega - n\omega q \cos \theta) - \omega^2(n^2 - 1) = 0$$

$$\theta = \angle(\vec{p}, \hat{k}) \quad \bar{e} \xrightarrow{\vec{p}} \gamma \xrightarrow{\theta}$$

$$\omega = \frac{2}{n^2 - 1} (qn \cos \theta - E) > 0$$

Bedingung für Abstrahlung:  $qn > E$

$$\frac{q}{E} = v > \frac{1}{n} \quad \boxed{\frac{v}{c} > \frac{1}{n}}$$

Abstrahlungswinkel:

$$\beta \equiv \frac{v}{c}$$

$$\cos \theta = \frac{1}{gn} \left( E + \frac{(n^2-1)\omega}{2} \right)$$

$$\cos \theta = \frac{1}{\beta n} \left( 1 + \frac{(n^2-1)\omega}{2E} \right)$$

Abstrahlung im sichtbaren Bereich:

$$\frac{gn}{E} > 1 \Rightarrow \frac{E^2 - m^2}{E^2} > \frac{1}{n^2} \Rightarrow E > \frac{m}{\sqrt{1 - \frac{1}{n^2}}} \quad \text{MeV-Bereich!}$$

$$\Rightarrow \frac{\omega}{E} \ll 1, \quad \cos \theta = \frac{1}{\beta n} \quad \text{Wasser: } E > 1.5 m_e$$

$$0 < \theta < 41.25^\circ$$

Keine Abstrahlung im Vakuum!

f) Der Greisen-Zatsepin-Kuzmin - cutoff

GZK: 1966

Kosmische Hintergrundsstrahlung:

Überbleibsel vom Urknall, Hohlraumstrahlung

mit  $T_\gamma = \cancel{2.725 \pm 0.001} \text{ K} \quad 2.7255 \pm 0.0006 \text{ K}$

$$n_\gamma \approx 411 \text{ cm}^{-3}$$

Primäre kosmische Strahlung:  $p \sim 90\%$ ,  $\alpha, \dots$

$$E_{\text{kin}} \lesssim 100 \text{ MeV}$$

Sonnenwind (moduliert)

CR mit  $E < 10 \text{ GeV}$  im

11-Jahreszyklus)

einige GeV  $\leftrightarrow 4 \times 10^{15} \text{ eV} = 4 \times 10^6 \text{ GeV}$  ("Knie"):  $E^{-2.7}$

"Knie" bis Knöchel ( $5 \times 10^{18} \text{ eV}$ ):  $E^{-3.1}$ ,  $r \approx 3.0 - 3.3$

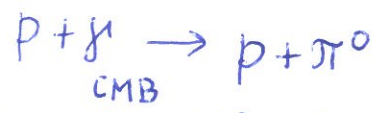
Oberhalb Knöchel:  $r \approx 2.8$



Extragalaktische Komponente dominiert oberhalb vom "Knöchel"

GZK - Cutoff:

inelastische p-Streuung an  $\gamma_{CMB}$   
z.B.



$kT_{CMB} \sim 2.7 \times 8.617 \times 10^{-5} \text{ eV} = 2.35 \times 10^{-4} \text{ eV}$

Gesucht: Min. Energie des Protons, ab welcher dieser Prozess kinematisch erlaubt ist

$(p+k)^2 \geq (m_p + m_\pi)^2$

$p = \begin{pmatrix} E \\ \vec{p} \end{pmatrix}, k = \begin{pmatrix} \omega \\ -\omega \frac{\vec{p}}{|\vec{p}|} \end{pmatrix} \leftarrow \text{max. Energie für } \pi\text{-Produktion}$

$(E+\omega)^2 - (\sqrt{E^2 - m_p^2} - \omega)^2 \geq (m_p + m_\pi)^2$

~~$E^2 + 2\omega E + \omega^2 - E^2 - m_p^2 - \omega^2 + 2\omega \sqrt{E^2 - m_p^2} \geq (m_p + m_\pi)^2$~~

$\omega (E + \sqrt{E^2 - m_p^2}) \geq m_\pi (m_p + m_\pi / 2)$

$E + \sqrt{E^2 - m_p^2} \geq \frac{m_\pi (m_p + m_\pi / 2)}{\omega}$

untere Schranke an E, damit inelastische Streuung stattfindet

$E_{GZK} \gtrsim \frac{m_\pi m_p}{2\omega}$

$\omega \sim 10^{-3} \text{ eV}$

$E_{GZK} \gtrsim \frac{100 \text{ MeV} \times 1 \text{ GeV}}{2 \times 10^{-3} \text{ eV}} = 0.5 \times 10^{20} \text{ eV}$

Bedeutung:  $n_\gamma, \sigma(N + \gamma \rightarrow N' + \pi) \Rightarrow E_p > E_{GZK} \approx 5 \times 10^{19} \text{ eV}$ ,  
dann Quelle näher als  $\approx 100 \text{ Mpc}$   
( $1 \text{ pc} \approx 3.26 \text{ ly}$ )

Pierre Auger - Observatorium: Auger 1938: Luftschauer  
Entdeckung ausgedehnter  
Fläche ~ 3000 km<sup>2</sup> (Provinz Mendoza, Argentinien)

1660 Wassertanks mit 12000 l, 11.3m<sup>2</sup> Grundfläche,  
Abstand 1.5 km → Detektion durch  
Cherenkov-Strahlung

27  
30 Teleskope in 4 Beobachtungsstationen,  
Spiegelfläche ~ 12m<sup>2</sup> → Fluoreszenzlicht (N<sub>2</sub>)  
Entwicklung des  
Luftschauers in wundlosen  
Nächten klaren

Ergebnisse:

- 1) GZK-Cutoff bestätigt (Widerspruch zu AGASA)  
~ 5 × 10<sup>19</sup> eV
- 2) Korrelation höchstenergetischer Ereignisse  
mit aktiven Galaxiekernen in näherer  
Umgebung

<http://www.auger.de/>

~~[www.auger.org/observatory/](http://www.auger.org/observatory/)~~

AGASA: Akeno Giant Airshower Array  
Japan, 100 km<sup>2</sup>, 111+27 Detektoren

10<sup>15</sup> eV = 1 PeV (peta)

10<sup>18</sup> eV = 1 EeV (exa)